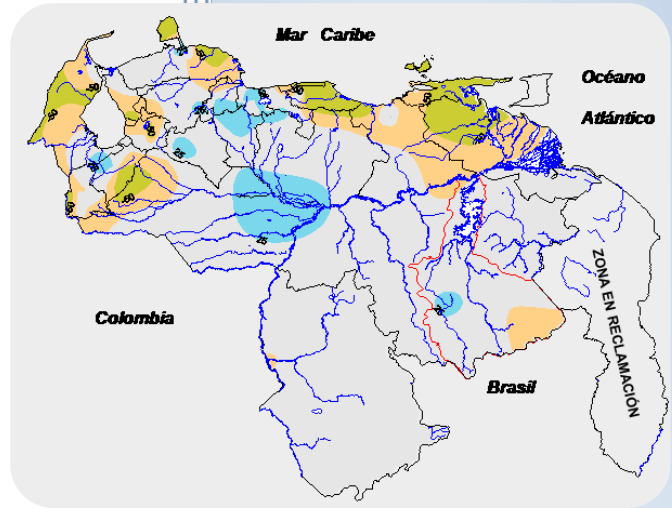




BOLETÍN CLIMATOLÓGICO MENSUAL



AGOSTO 2015



BOLETÍN CLIMATOLÓGICO AGOSTO 2015

El presente boletín climatológico ha sido elaborado por la Coordinación de Meteorología Aplicada y la Coordinación de Estudios e Investigación de Clima del Instituto Nacional de Meteorología e Hidrología (INAMEH), sintetiza toda la información del mes de Agosto de 2015 respecto a las condiciones atmosféricas locales, describiendo el comportamiento de la variable meteorológica precipitación al relacionarla con su promedio; además mantiene una vigilancia de la evolución del clima a escala regional y local.

Los datos utilizados para su realización son preliminares y provienen de las estaciones meteorológicas del Instituto Nacional de Meteorología e Hidrología (INAMEH)- Ministerio del Poder Popular para Ecosocialismo y Aguas, Servicio de Meteorología de la Aviación, Electrificación del Caroní, Earth System Research Laboratory de la NOAA; EEUU y el Department of Environment and Resource Management de Queensland, Australia.

1.- CONDICIONES ATMOSFÉRICAS REGIONALES

1.1.- MODOS DE VARIABILIDAD DEL CLIMA CON INFLUENCIA DEMOSTRADA EN VENEZUELA

Sinopsis de las condiciones observadas en el Pacífico Ecuatorial durante el mes de Agosto

Existe más de 90% de probabilidad de que condiciones características de eventos El Niño persistan durante el último trimestre de 2015 y el primero de 2016.

Durante el mes de agosto, persistieron anomalías positivas de temperatura de la superficie del mar por encima de $+0,5^{\circ}\text{C}$ en todo el Pacífico ecuatorial, llegando a valores superiores a $+2,0^{\circ}\text{C}$ durante todo el mes en el extremo oriental del Pacífico ecuatorial (Niño 1+2, Niño 3) **Tabla 1**. El índice Niño3.4 se incrementó superando $+2,0^{\circ}\text{C}$ a partir de la segunda semana del mes, **Figura 1**. Condiciones típicas de eventos El Niño de moderada a fuerte intensidad llegaron a observarse durante agosto, con un acoplamiento océano – atmósfera bien definido, que continúa mostrando indicios de un posterior fortalecimiento en los próximos meses, **Figuras 2, 3 y 8**.



La anomalía del contenido de calor por debajo de la superficie del mar, hasta unos 300 metros, no mostró cambios significativos durante el transcurso de agosto, manteniéndose en torno a un $+2,0^{\circ}$ C. En niveles bajos de la atmósfera, las anomalías del oeste se intensificaron en el Pacífico occidental y central, **Figura 3**. Mientras que en niveles altos, persistieron anomalías del este en el Pacífico central y oriental. En respuesta al acoplamiento, más convección de lo normal se observó en el Pacífico oriental y central y menos en Indonesia, **Figura 7**. Así mismo, el índice de Oscilación del Sur mantuvo valores negativos durante el transcurso mes (**Figuras 1 y 2**). Bajo este contexto, la evolución del océano y la correspondiente respuesta atmosférica muestran condiciones características de un evento El Niño de moderada a fuerte intensidad que da señales de fortalecimiento adicional. La información consultada indica que la probabilidad de que se mantengan condiciones típicas de un evento El Niño de a moderada a fuerte intensidad supera el 90% durante el periodo agosto 2015 – marzo 2016. Manteniéndose por encima de 80% al menos hasta el mes de abril de 2016.

Tomando en cuenta las condiciones observadas, se estima que se mantendrá condiciones típicas de un evento El Niño de moderada a fuerte intensidad durante el transcurso de 2015 y el primer trimestre de 2016.

Tabla 1. Anomalía semanal de la temperatura ($^{\circ}$ C) de la superficie del mar en las regiones NIÑO centrada en la fecha indicada. Fuente: Climate Prediction Center, NOAA.

Fecha	Nino1+2	Nino3	Nino3.4	Nino4
05-ago-15	2,6	2,3	1,9	0,9
12-ago-15	2,0	2,2	2,0	0,9
19-ago-15	1,7	2,2	2,1	1,1
26-ago-15	2,0	2,3	2,2	1,1
02-sep-15	2,2	2,4	2,1	1,0

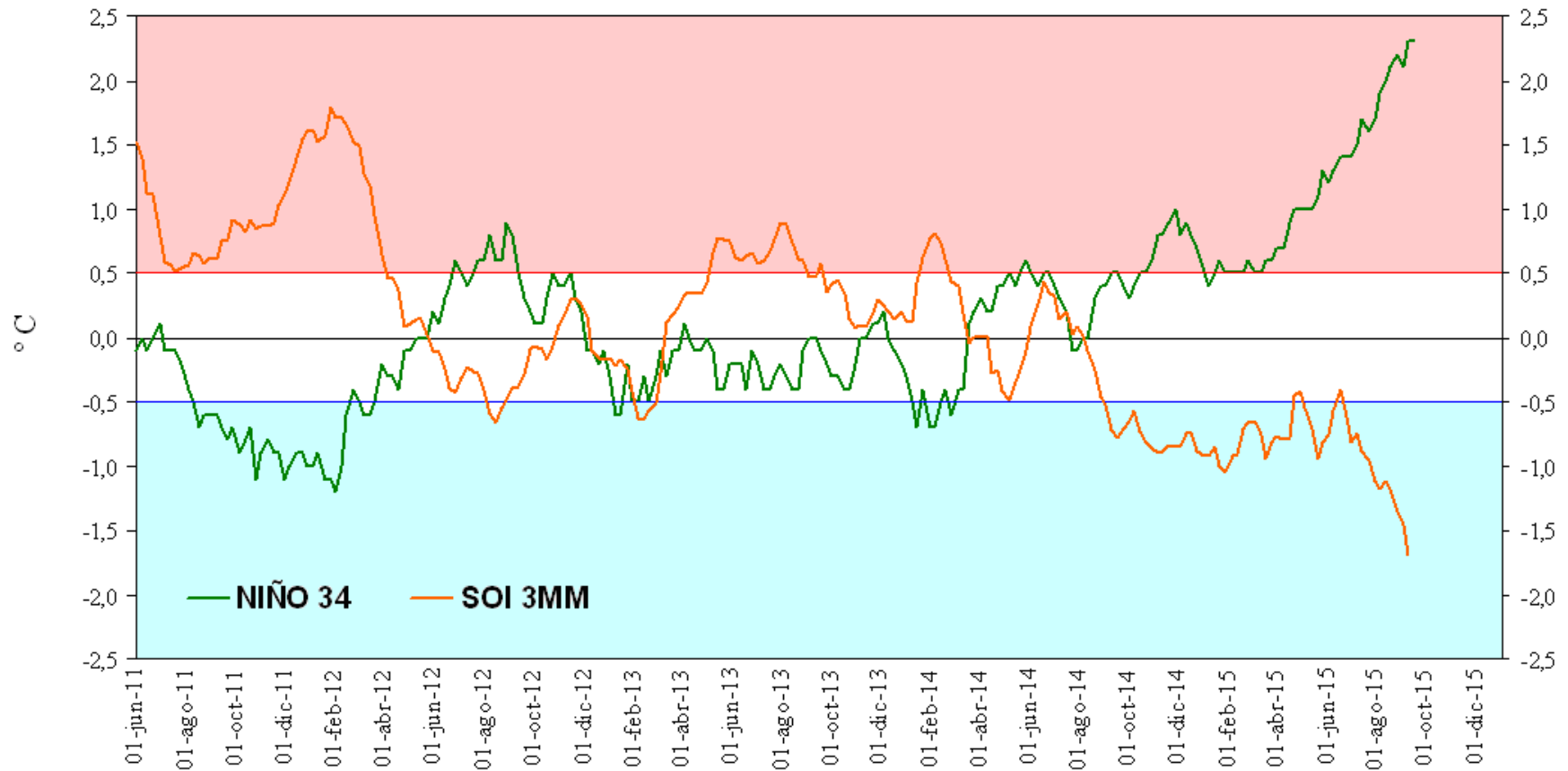


Figura 1. Anomalía mensual de la temperatura de la superficie del mar en la región Niño 3.4 y media móvil trimestral del Índice de Oscilación del Sur. Valores de anomalía de temperatura en la región Niño 3.4 localizados en el rango de $-0,5^{\circ}\text{C}$ y $+0,5^{\circ}\text{C}$ se consideran normales. Valores del Índice de Oscilación del Sur cercanos a cero indican condiciones normales en la circulación Walker del Pacífico Central y Occidental. Datos: Climate Prediction Center, NOAA y el Department of Environment and Resource Management, Australia.

Anomalía estandarizada de presión atmosférica de Tahití y Darwin Media móvil trimestral

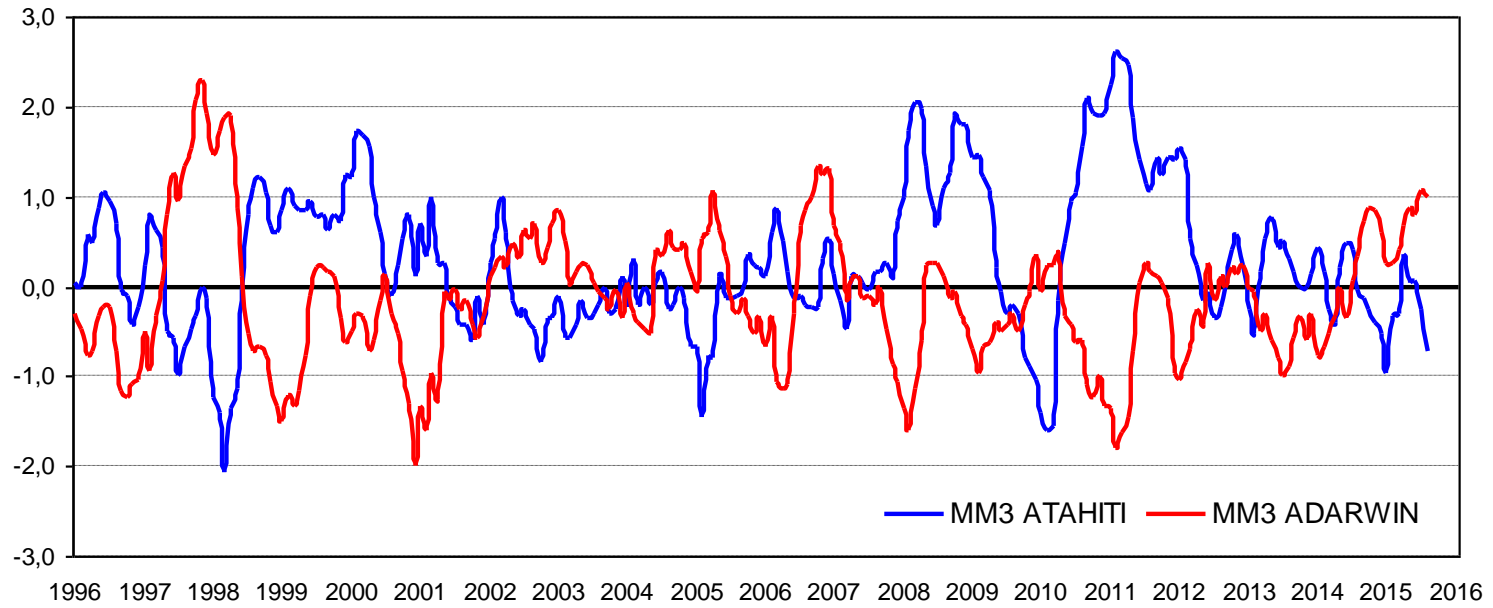


Figura 2. Anomalía de presión atmosférica en superficie, media móvil trimestral en Tahití y Darwin. Datos: Climate Prediction Center, NOAA.

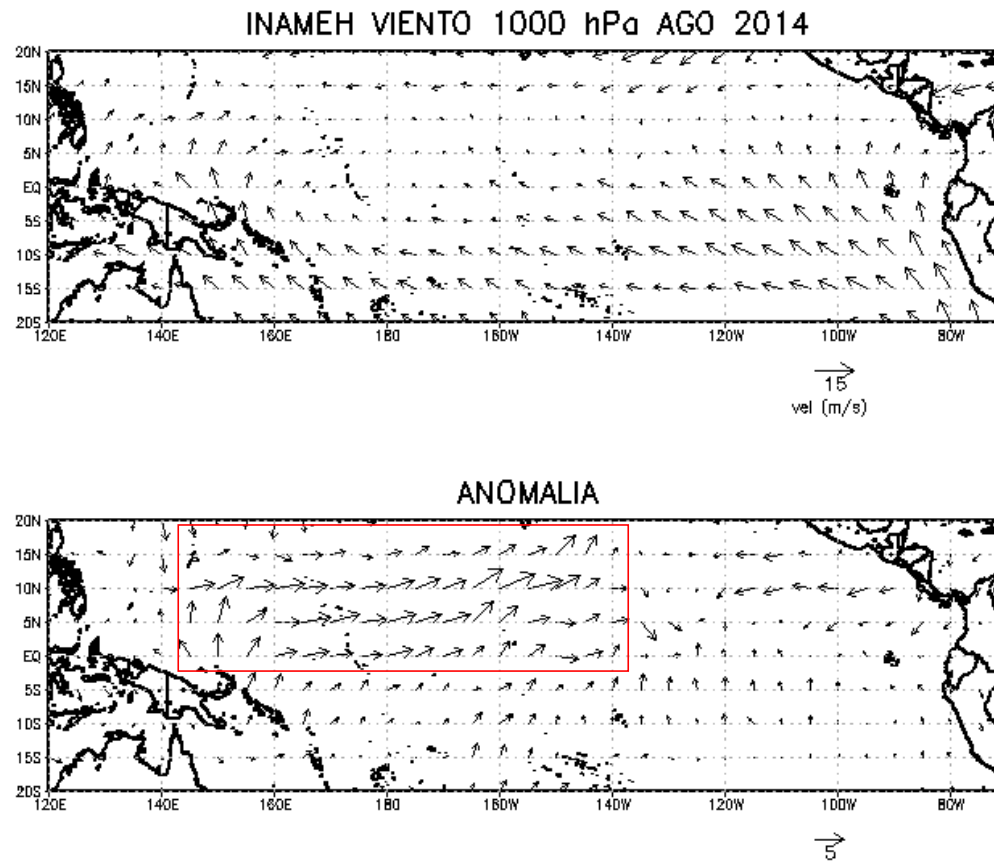


Figura 3. Anomalia de velocidad y dirección del viento en 1000 hPa. Datos: Kalnay et al., The NCEP/NCAR 40-year reanalysis project, Bull. Amer. Meteor. Soc., 77, 437-470, 1996.

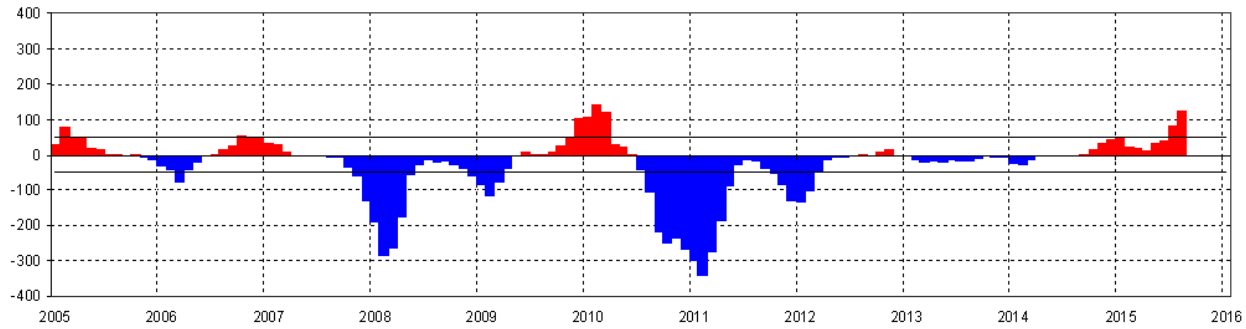


Figura 4. Índice semanal de ocurrencia de eventos ENOS (región Niño3.4). Valores del Índice de Ocurrencia de eventos ENOS localizados en el rango de -48 y +48 se consideran normales. Datos: *Climate Prediction Center* de la NOAA

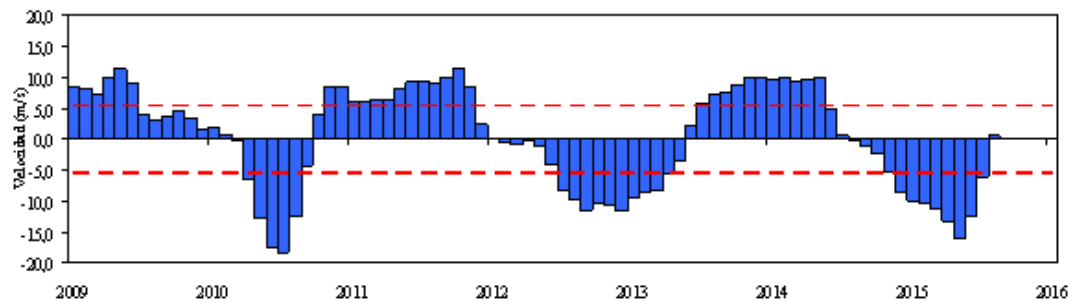


Figura 5. Anomalia del índice de viento zonal en 50 hPa, utilizado para hacer seguimiento de la oscilación cuasibienal. Valores positivos de velocidad indican velocidades del oeste y negativos del este. Velocidades del viento entre -5,05 y 5,05 m/s se consideran velocidades bajas, en tanto que fuera de este rango se consideran velocidades altas. Datos: NCEP Climate Data Assimilation System (CDAS) NOAA.

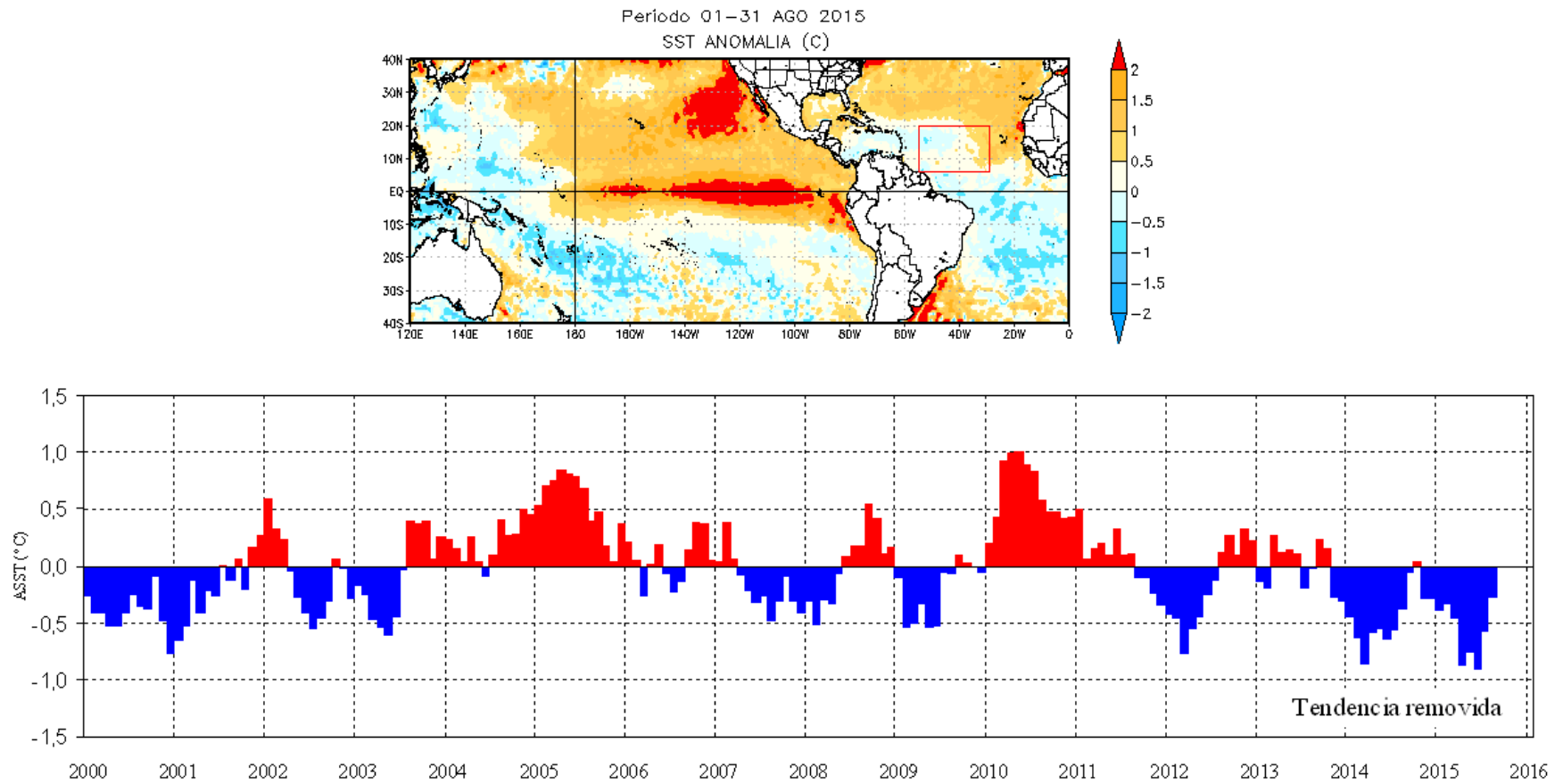


Figura 6. Anomalía de temperatura del mar, región del Atlántico Tropical (05-20N y 60-30W). Datos: Earth System Research Laboratory de la NOAA

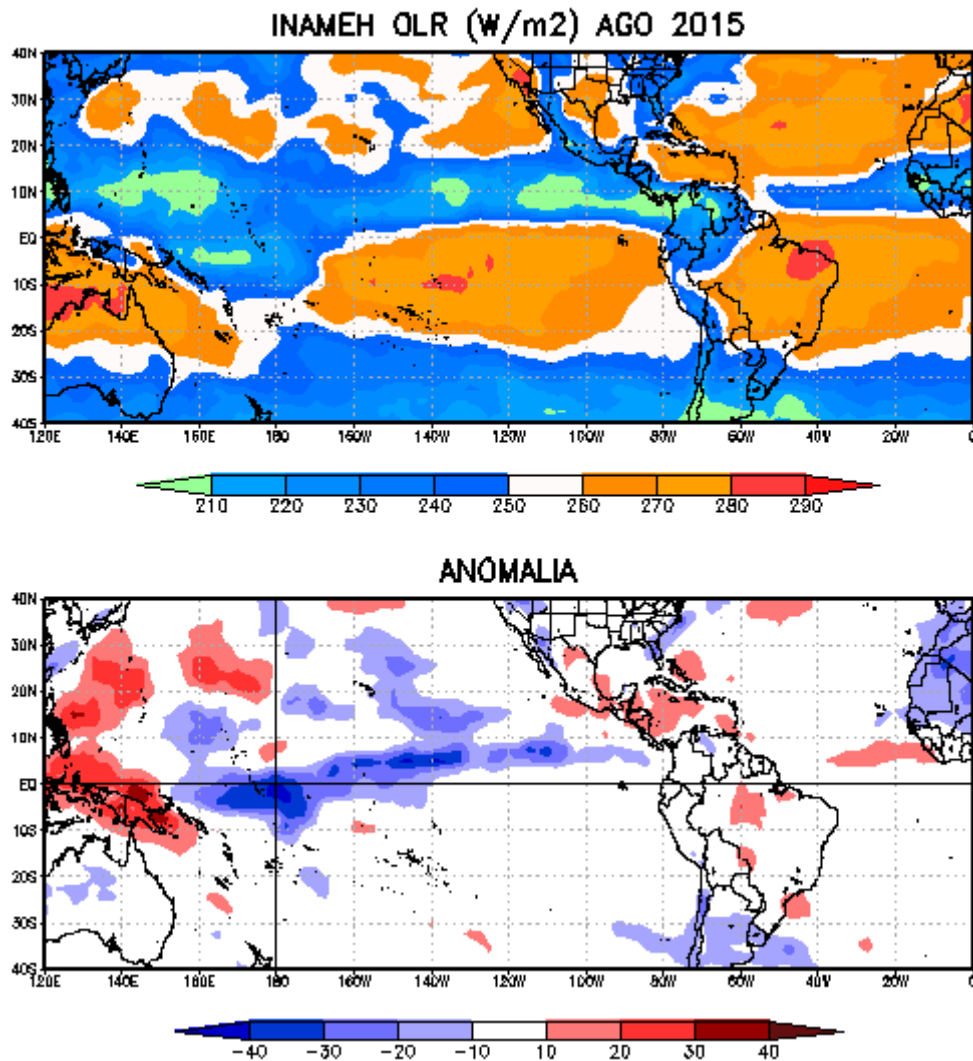
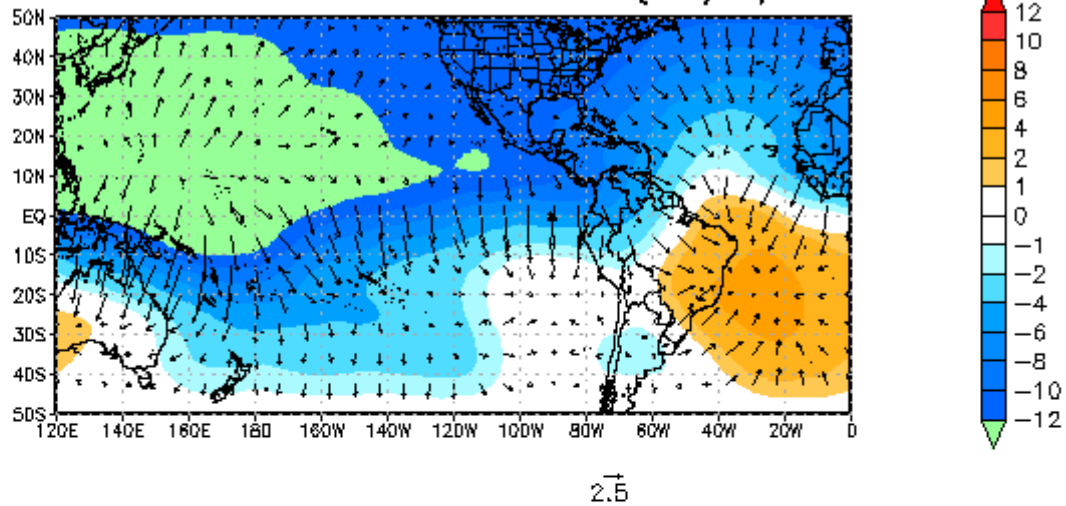


Figura 7. Radiación de Onda Larga Saliente (OLR) medio mensual (superior) y anomalía. Valores de $OLR \leq 250$ W/m^2 en la zona tropical indican presencia de nubes de gran desarrollo vertical y actividad convectiva. Anomalías negativas (positivas) indican valores de OLR menores (mayores) a lo normal, lo que se relaciona con más (menos) actividad convectiva de lo normal. Datos: Kalnay et al., The NCEP/NCAR 40-year reanalysis project, Bull. Amer. Meteor. Soc., 77, 437-470, 1996

POTENCIAL DE VELOCIDAD 200 hPa (M2/S) AGO 2015



ANOMALIA

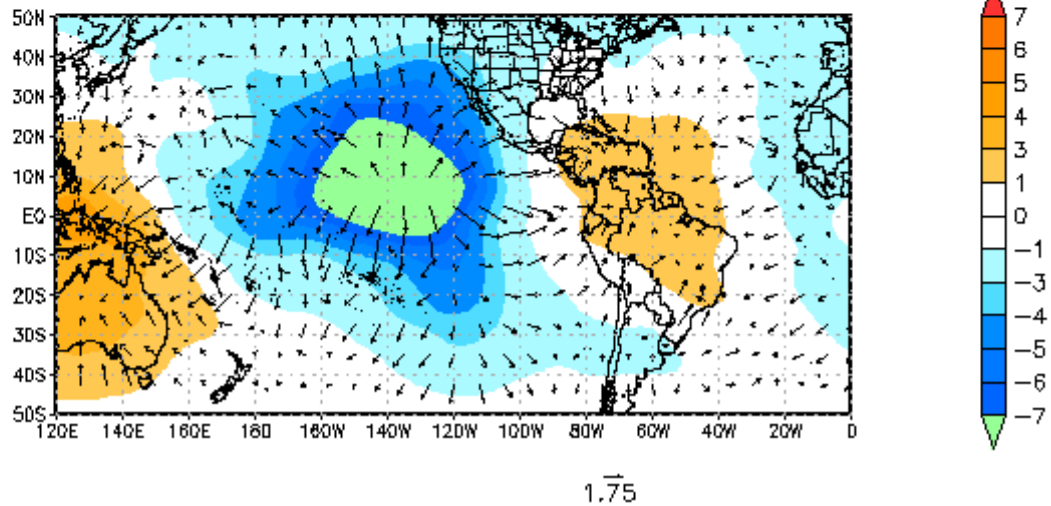


Figura 8. Potencial de velocidad (contorno) y vectores de viento divergente en 200 hPa medio mensual (superior) y anomalía. Valores negativos de potencial de velocidad con vectores “salientes” indican zonas donde los movimientos verticales son ascendentes, en tanto que valores positivos de potencial de velocidad y vectores “entrantes” corresponde a zonas donde los movimientos verticales son descendentes. Anomalías negativas (positivas) indican movimientos verticales ascendentes (descendentes) más intensos de lo normal, cuya dirección está expresada por los vectores. Datos: Kalnay et al., The NCEP/NCAR 40-year reanalysis project, Bull. Amer. Meteor. Soc., 77, 437-470, 1996

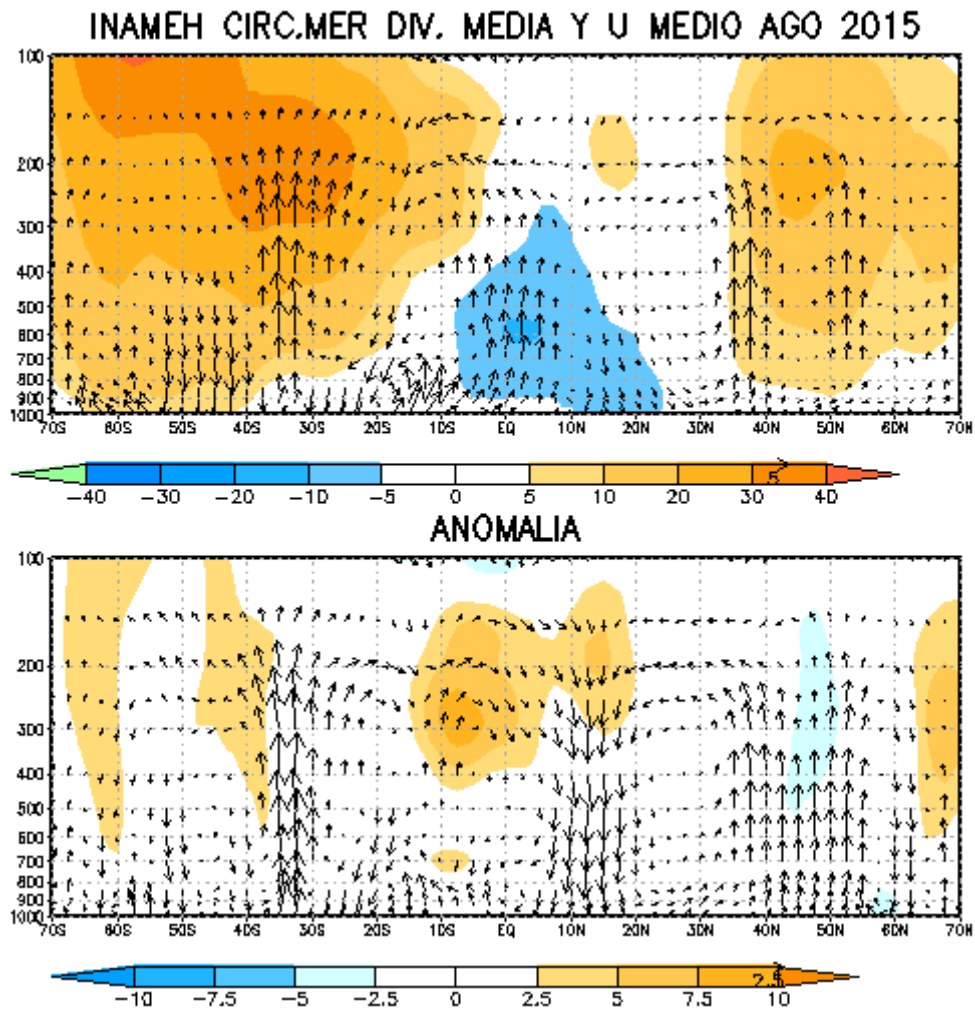


Figura 9. Vectores de circulación meridional y viento zonal (contornos) promedio entre 75°W y 50°W. Media mensual (superior) y anomalía. Valores positivos del viento zonal corresponden a viento del oeste (naranja) y los negativos a viento del este (azul), lo mismo aplica para las anomalías. Los vectores describen la estructura dinámica meridional de la atmósfera sobre Venezuela, donde los vectores ascendentes (apuntan hacia “arriba”) corresponden a zonas donde se espera mayor desarrollo de nubes y los descendentes (apuntan hacia “abajo”) a zonas donde existe subsidencia y poco desarrollo de nubes. Datos: Kalnay et al., The NCEP/NCAR 40-year reanalysis project, Bull. Amer. Meteor. Soc., 77, 437-470, 1996

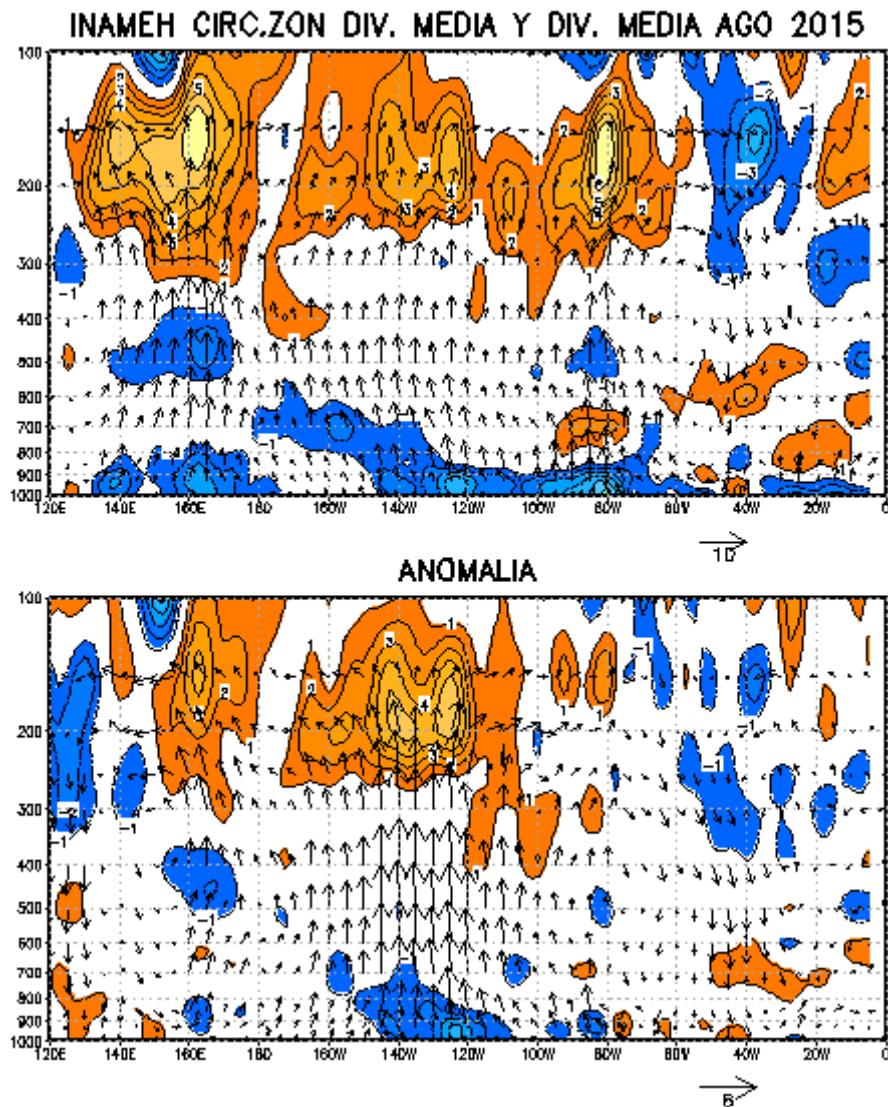
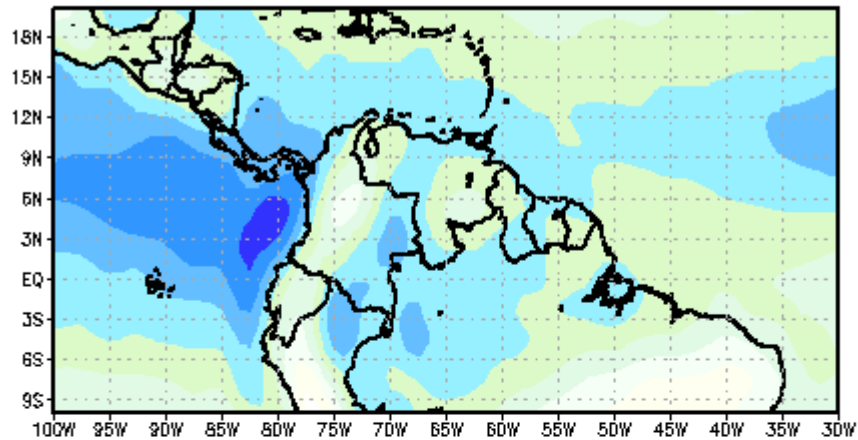


Figura 10. Vectores de circulación zonal y divergencia meridional (contornos) promedio entre 0° y 10°N. Media mensual (superior) y anomalía. Valores positivos (naranja) de la divergencia meridional corresponden a zonas donde existe divergencia y los negativos a convergencia (azul), lo mismo aplica para las anomalías. Los vectores describen las estructura dinámica zonal de la atmósfera, donde los vectores ascendentes (apuntan hacia “arriba”) corresponden a zonas donde se espera mayor desarrollo de nubes y los descendentes (apuntan hacia “abajo”) a zonas donde existe subsidencia y poco desarrollo de nubes. Datos: Kalnay et al., The NCEP/NCAR 40-year reanalysis project, Bull. Amer. Meteor. Soc., 77, 437-470, 1996



INAMEH AGUA PREC (kg/m²) AGO 2015



ANOMALIA (kg/m²)

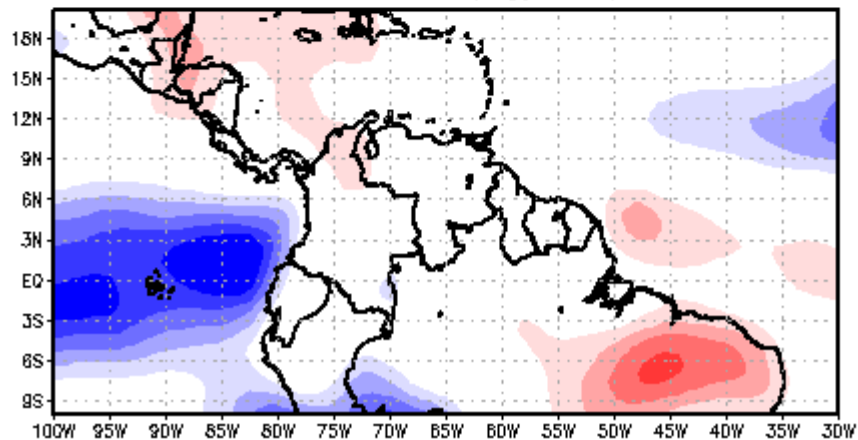


Figura 11. Agua precipitable, representa el agua contenida en forma de vapor en una columna de aire susceptible a precipitarse. Media mensual (superior) y anomalía. Valores positivos de la anomalía (azul) indican mayor cantidad de agua precipitable. Datos: Kalnay et al. The NCEP/NCAR 40-year reanalysis project, Bull. Amer. Meteor. Soc., 77, 437-470, 1996

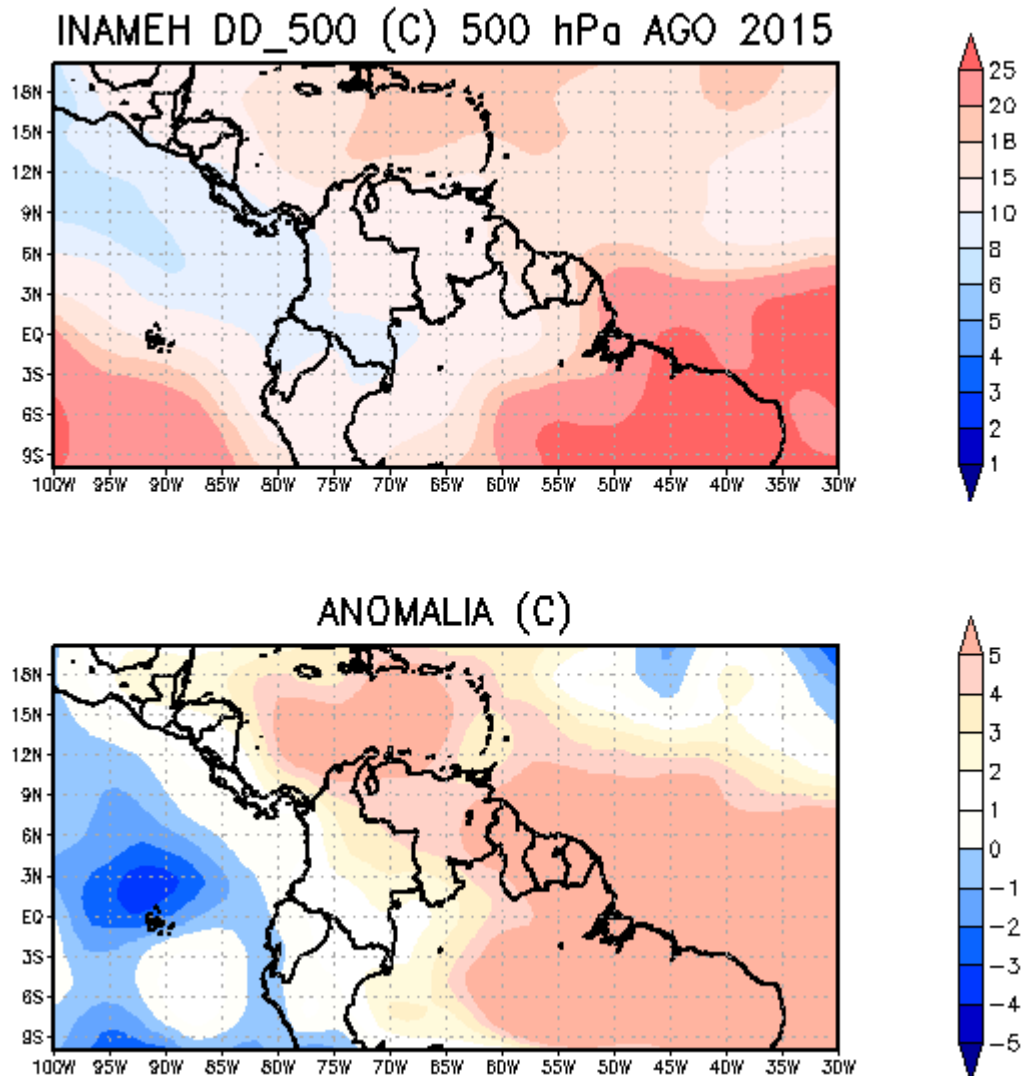
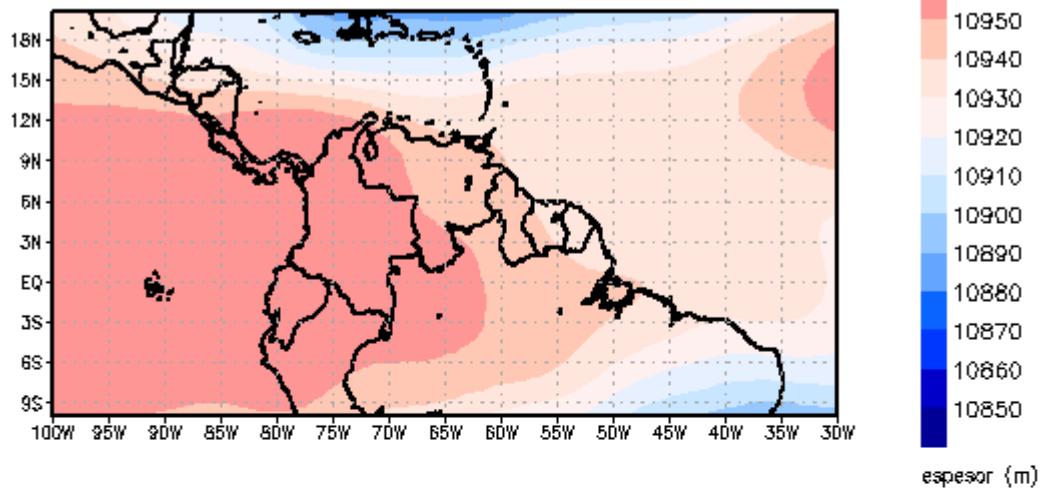


Figura 12. Diferencia entre T y Td en 500 hPa. Media mensual (superior) y anomalía. Expresa el contenido de humedad en 500 hPa; entre menor es el valor observado menor es la diferencia entre T y Td, por lo que mayor será el contenido de humedad. Lo mismo aplica para las anomalías. Datos: Kalnay et al., The NCEP/NCAR 40-year reanalysis project, Bull. Amer. Meteor. Soc., 77, 437-470, 1996



INAMEH ESPESOR 850–200 hPa AGO 2015



ANOMALIA (m)

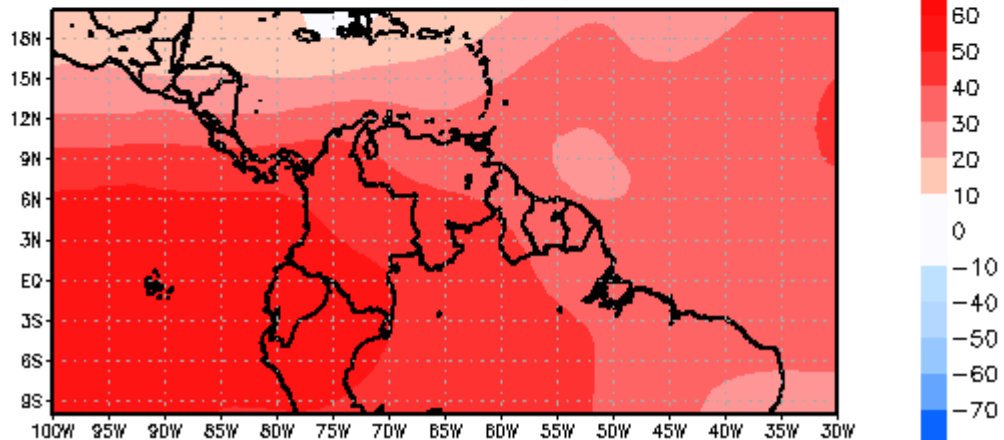


Figura 13. Espesor entre 850 y 200 hPa. Media mensual (superior) y anomalía. Anomalías negativas indican zonas con espesores menores de lo normal. Datos: Kalnay et al., The NCEP/NCAR 40-year reanalysis project, Bull. Amer. Meteor. Soc., 77, 437-470, 1996

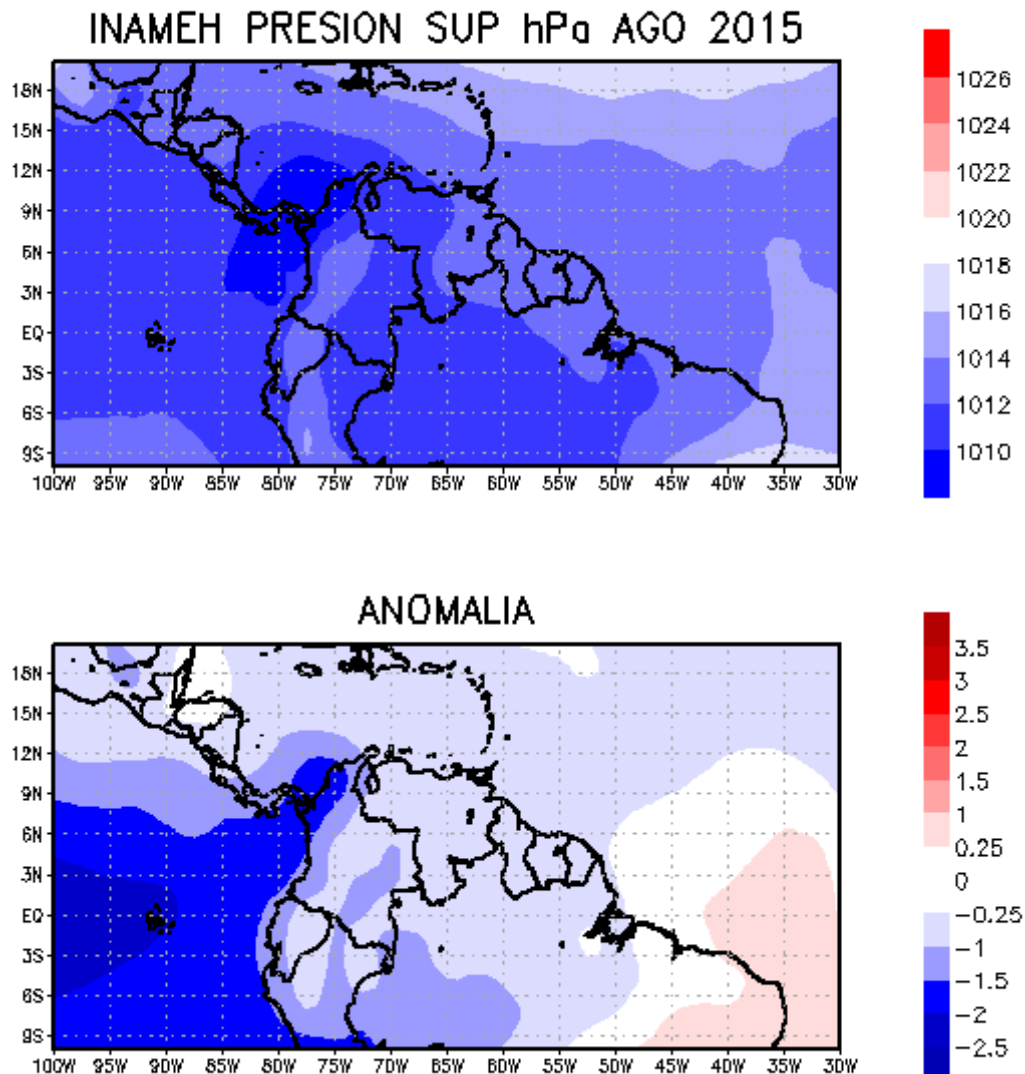


Figura 14. Presión atmosférica en superficie media estimada (superior) y anomalía. Valores negativos de anomalía (azul) indican presión atmosférica por debajo de lo normal, valores positivos (rojo) indican presión atmosférica por encima de lo normal. Datos: Kalnay et al., The NCEP/NCAR 40-year reanalysis project, Bull. Amer. Meteor. Soc., 77, 437-470, 1996

Durante el mes de agosto se observaron anomalías de temperatura de la superficie del mar a lo largo del Pacífico Ecuatorial que excedieron de $+1,0^{\circ}$ C en todas las regiones Niño (Niño 1+2, Niño 3, Niño 3.4 y Niño 4). En el extremo oriental se registró un valor máximo de $+2,6^{\circ}$ C en la primera semana del mes, **Tabla 1**. El índice Niño 3.4 se mantuvo bien por encima del umbral de condiciones neutrales ($+0,5^{\circ}$ C) durante todo el período, registrando una anomalía de $+2,2^{\circ}$ C durante la última quincena del mes (**Figura 1**).

El Índice de Oscilación del Sur (SOI) mantuvo valores negativos durante todo el período, el valor medio mensual observado fue de -1,8; en tanto que la media móvil trimestral fue de -1,2, **Figura 1**. La media móvil trimestral de las anomalías de presión atmosférica en Tahití y Darwin, continúan mostrando una alteración en el campo de presión del Pacífico ecuatorial, característico de un evento El Niño – Oscilación del Sur, **Figura 2**. La anomalía trimestral en Darwin ha permanecido con valores positivos, mientras que en Tahití registraron valores negativos, luego de que se observaran anomalías positivas durante abril y mayo. Adicionalmente, esta condición anómala, entre otras cosas, ha favorecido la persistencia de anomalías de viento del oeste en el campo del Alisio en la mayor parte del Pacífico ecuatorial, **Figura 3**.

El índice de ocurrencia de eventos ENOS en la región Niño3.4 (IE3.4) superó el rango establecido para condiciones neutrales, presentando un valor promedio mensual de +259,1 característico de un evento ENOS de calentamiento de moderada a fuerte intensidad, **Figura 4**.

La oscilación cuasibieneal (QBO) entró en el rango de velocidades bajas, registrando un valor promedio durante el mes de $+0,58$ m/s, **Figura 5**. Por otra parte, el Océano Atlántico Tropical mostró un aumento de la anomalía de temperatura de aproximadamente $0,3^{\circ}$ C respecto al mes anterior, registrando un valor medio de $-0,3^{\circ}$ C, **Figura 6**.

Anomalías negativas de OLR se observaron en el Pacífico central y oriental y positivas en el extremo occidental. En Venezuela, en general, se observaron valores normales en todo el territorio nacional, **Figura 7**.

Las anomalías de potencial de velocidad y la circulación divergente en 200 hPa observadas durante el mes indican que hubo más de convergencia (subsistencia) de flujo de lo normal a lo largo del Atlántico tropical, **Figura 8**. En Venezuela, el potencial



divergente observado muestra condiciones asociadas a más de convergencia (subsistencia) en todo el territorio nacional.

La circulación meridional divergente exhibió condiciones anómalas de subsidencia sobre el norte del territorio nacional y Caribe ($\sim 11^\circ - 25^\circ$ N) y entre 1000 y 150 hPa. La anomalía del viento zonal medio entre 300 y 100 hPa. sobre Venezuela indica que el viento del oeste estuvo más intenso de lo normal, **Figura 9**.

La anomalía de circulación zonal divergente observada sobre Venezuela (60° W – 70° W) indica que hubo débil subsidencia, entre 200 y 1000 hPa. mayormente sobre la porción oriental del país, **Figura 10**. Adicionalmente, es notable el forzamiento del océano sobre la atmósfera en el Pacífico ecuatorial, caracterizado por movimientos verticales ascendentes anómalos entre 170° E – 110° W y descendentes al oeste de 140° E. Está estructura anómala en la circulación Walker es característica del establecimiento de un evento ENOS de calentamiento.

La anomalía de contenido de agua precipitable sobre Venezuela estuvo en el promedio en el país, **Figura 11**. El contenido de humedad en 500 hPa. se caracterizó por estar por encima de lo normal en todo el país, **Figura 12**.

El campo de anomalía de espesor entre 850 hPa y 200 hPa mantuvo condiciones anómalas; en este sentido se apreció un espesor más grueso de lo normal sobre todo el país. Siendo mayor en la porción sur occidental del país, disminuyendo progresivamente hacia el norte este, **Figura 13**. La presión atmosférica en superficie estuvo más baja de lo normal en todo el país, **Figura 14**.

La mayoría de los indicadores utilizados en el análisis evidencian que durante agosto prevalecieron condiciones anómalas de subsidencia que inhibieron la ocurrencia de lluvias en algunas regiones del país. Las condiciones anómalas observadas en la circulación en el trópico, típicas de un evento ENOS, continuaron siendo robustas, por lo que la señal se hará más fuerte en los meses por venir. Con lo cual se espera un escenario en el que persistan estas condiciones de subsidencia en el territorio nacional; y en consecuencia menos precipitación de lo normal. Por otra parte, el QBO en 50 hPa. perdió velocidad, llegando a ubicarse en el rango de velocidades bajas, lo que estadísticamente favorece la ocurrencia de déficit de lluvia en el país.

Otros indicadores como la OLR y el agua precipitable mantuvieron valores cercanos a lo normal durante el mes; con lo cual se especula que los cambios en la dinámica atmosférica observados, fueron los principales elementos que definieron el comportamiento de la precipitación en el país.

2.- CONDICIONES ATMOSFÉRICAS LOCALES

2.1- PRECIPITACIÓN

Durante el mes de Agosto los máximos pluviométricos se registraron en el Centro Occidente y los Llanos Occidentales, el resto del Territorio Nacional presento valores cercanos al promedio o por debajo de este, como puede observarse en el mapa de Anomalía Porcentual de la Precipitación de Agosto 2015.

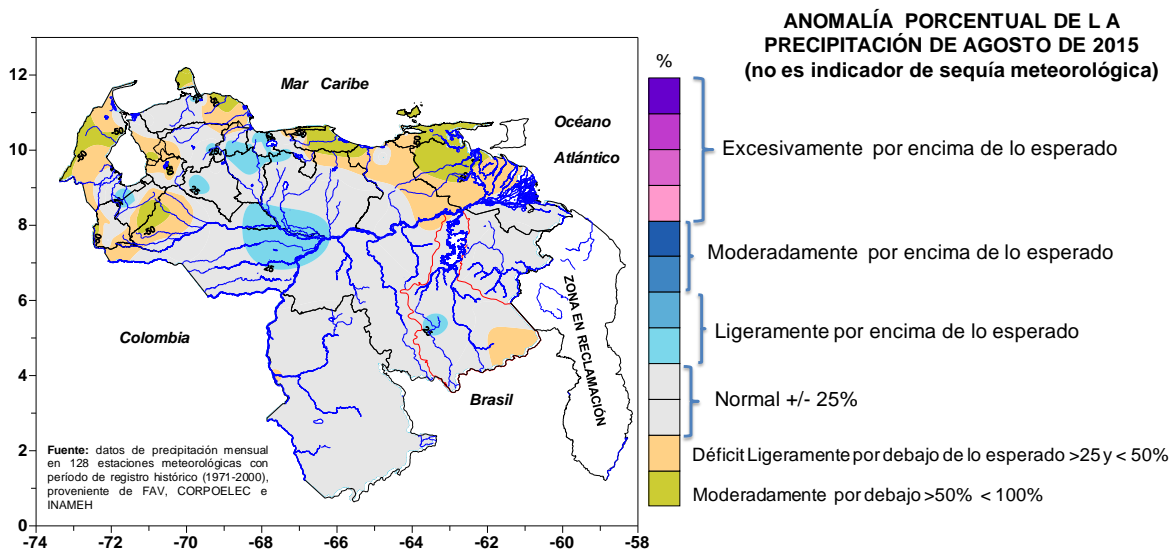


Tabla 2. Cantidades de lluvia mensual, promedio y anomalías del mes de Agosto de 2015 por regiones de la República Bolivariana de Venezuela

Región	Estado	Estaciones	Serial	Longitud	Latitud	Mensual	Promedio	VP (%)
Los Andes	Mérida	El Vigía	80437	-71,630	8,608	156,0	97,8	60
		Mérida	80438	-71,157	8,599	85,0	151,2	-44
	Táchira	El Zumbador	4072	-72,084	7,984	99,2	94,3	5
		El Cobre	3094	-72,050	8,033	39,8	61,3	-35
		Lobatera	4014	-72,246	7,950	30,0	50,6	-41
		San Antonio del Táchira	80447	-72,450	7,850	6,8	32,9	-79
		Sto Domingo del Táchira	80475	-72,067	7,583	342,7	329,2	4
	Trujillo	Trujillo	2156	-70,426	9,370	7,0	50,1	-86
Valera		2114	-70,585	9,342	101,4	127,8	-21	
Central	Aragua	Maracay	80413	-67,650	10,250	131,0	171,9	-24
	Carabobo	Valencia	80472	-67,996	10,191	192,2	170,4	13
	Vargas	Maiquetía	80415	-66,980	10,603	14,5	55,6	-74
	Miranda	La Carlota	80416	-66,880	10,500	31,0	115,7	-73
		La Veraniega	5037	-66,760	10,140	58,2	144,7	-60
	Distrito Capital	Cagigal	531	-66,921	10,510	25,0	124,4	-80
Centro Occidental	Falcón	Coro	80403	-69,679	11,418	55,3	27,5	101
		Mene Mauroa	1029	-70,998	10,682	123,4	113,5	9
		Pueblo Nuevo de la Sierra	279	-69,524	11,202	94,4	120,4	-22
	Lara	Barquisimeto	80410	-69,272	10,065	79,2	51,3	54
		Central Matilde	1381	-68,870	10,144	251,5	157,0	60
	Yaracuy	Urachiche	1371	-69,011	10,147	164,0	202,3	-19
Llanos Centrales	Guárico	Biológica los Llanos	3400	-67,317	8,883	283,9	236,1	20
		Calabozo	80442	-67,417	8,933	204,2	237,4	-14
		San Juan de Los Morros	80431	-67,362	9,920	275,9	186,3	48
		Valle de La Pascua	2589	-66,000	9,217	129,7	148,1	-12
Llanos Occidentales	Apure	San Fernando de Apure	4404	-67,470	7,894	368,2	243,0	52
		Guasdalito	80448	-70,750	7,250	243,8	234,1	4
	Barinas	Barinas	80440	-70,250	8,600	109,0	182,7	-40
	Portuguesa	Acarigua	80427	-69,233	9,550	160,0	195,3	-18
		Guanare	80428	-69,733	9,017	308,0	201,3	53
Zulia	Zulia	Maracaibo	80407	-71,600	10,633	64,6	61,4	5
		Mene Grande	80425	-70,933	9,817	55,0	126,3	-56
		Manuelote	1000	-72,223	10,943	34,6	132,0	-74
		Hacienda Manantialitos	1019	-72,231	10,777	63,4	112,7	-44
		La Cañada	80476	-71,650	10,517	23,5	74,4	-68
Oriental	Nueva Esparta	Porlamar	80421	-63,967	10,917	5,3	56,9	-91
		Anzoátegui	Barcelona	80419	-64,683	10,450	78,8	110,6
	Sucre	Cumaná	80420	-64,117	10,450	72,9	91,8	-21
		Guiria	80423	-62,300	10,583	49,4	144,6	-66
		Cocollar	1873	-63,825	10,179	67,8	141,1	-52
	Monagas	Maturín	80435	-63,183	9,750	76,0	179,4	-58
Sur	Amazonas	Atabapo	9405	-67,667	4,000	247,0	337,1	-27
		San Juan de Manapiare	9410	-66,167	5,233	314,7	398,8	-21
		Pto. Ayacucho	6421	-67,633	5,683	294,1	303,4	-3
		Río Negro	9401	-67,050	1,933	283,6	304,2	-7
	Bolívar	Arekuna	6928	-62,883	6,517	452,0	471,5	-4
		Caruaiken	7261	-61,783	4,900	313,5	383,4	-18
		Cdad. Bolívar	80444	-63,537	8,130	112,0	163,1	-31
		Santa Elena de Uairén	80462	-61,117	4,600	132,3	203,3	-35
		Karum	6940	-63,400	5,317	663,9	505,0	31
		La Paragua	5887	-63,333	6,833	254,4	314,2	-19
		Kamarata	6943	-62,336	5,739	113,3	282,3	-60
		Kavanayen	6933	-61,717	5,583	340,8	356,1	-4
		Macagua	-	-62,655	8,291	127,3	160,7	-21
		Uriman	6931	-62,683	5,350	677,7	570,3	19
		Wonken	33	-62,728	4,981	242,9	383,4	-37
Yuruani	7921	-61,933	5,017	177,4	211,0	-16		

FUENTE: Ministerio del poder popular para Ecosocialismo y Aguas, Servicio de Meteorología de la Aviación y Electrificación del Caroní.

678 Mayor valor de precipitación registrado en todo el país.

NOTA:

Datos de precipitación preliminares

Precipitación expresada en milímetros (mm). Un milímetro equivale a un litro por metro cuadrado

Valores negativos en anomalías porcentual indican déficit/ valores positivos indican superávit pluviométrico



A continuación se describe para cada una de las regiones de Venezuela, el comportamiento del régimen pluviométrico a partir de gráficos comparativos de las precipitaciones registradas en Agosto de 2015, con respecto al promedio histórico 1971-2000 de cincuenta y siete (57) estaciones meteorológicas distribuidas sobre el territorio nacional.

REGIÓN CENTRAL (Distrito Capital, Aragua, Carabobo, Vargas y Miranda)

- En la región se presentó en promedio un déficit pluviométrico (valores registrados por debajo del promedio) de 62%.
- En Maracay (estado Aragua) precipitaron 131 mm, en Valencia (estado Carabobo) 192,2 mm, en Maiquetía (estado Vargas) 14,5 mm, en la Carlota (estado Miranda) 31 mm, en La Veraniega (estado Miranda) 58,2 mm y en Cagigal (Distrito Capital) 25 mm.
- El promedio del mes para dichas estaciones es de 171,9 mm en Maracay, 170,4 mm en Valencia, 55,6 mm en Maiquetía, 115,7 mm en La Carlota, 144,7 mm en la Veraniega y 124,4 mm en Cagigal.
- La precipitación máxima en 24 horas fue 19,8 mm y ocurrió el día 15 de Agosto en la Veraniega.
- En la región se presentaron 17 días con pluviosidad.

REGIÓN DE LOS ANDES (Mérida, Táchira y Trujillo)

- Durante el mes de Agosto las máximas precipitaciones se presentaron en el estado Mérida, mientras que en Táchira y Trujillo el déficit pluviométrico se ubicó en promedio en 50%.



- El máximo pluviométrico se registró en el Vigía (estado Mérida) con 156 mm, valor que represento un superávit de 60%.
- La precipitación máxima en 24 horas fue de 12,2 mm y ocurrió en el Paramo el Zumbador el día 25 de Agosto.
- En la región se presentaron 24 días con lluvias.

REGIÓN CENTRO OCCIDENTAL (Falcón, Lara y Yaracuy)

- Durante el mes de Agosto prevaleció el superávit pluviométrico en la región.
- En Coro (estado Falcón) precipitaron 55,3 mm, en Mene Mauroa (estado Falcón) 123,4 mm, en Barquisimeto (estado Lara) 79,2 mm, y en Central Matilde (estado Yaracuy) 251,5 mm, valores que representan anomalías positivas de 101%, 9%, 54% y 60%, respectivamente.
- Los valores promedios del mes para la región son de 27,5 mm en Coro (estado Falcón), 113,5 mm en Mene Mauroa (estado Falcón), 120,4 mm en Pueblo Nuevo de la Sierra (estado Falcón), 51,3 mm en Barquisimeto (estado Lara), 157 en Central Matilde (estado Yaracuy) y 202,3 en Urachiche (estado Yaracuy).
- La precipitación máxima en 24 horas fue de 56,6 mm y ocurrió en Central Matilde el día 20 de Agosto.
- En la región se presentaron 20 días con pluviosidad.

REGIÓN LLANOS CENTRALES (Guárico y Cojedes)

- Para el mes de Agosto los máximos valores de precipitación se registraron en Biológica de los Llanos con 283,9 mm y en San Juan de Los Morros con 275,9 mm, los cuales representaron anomalías positivas de 20% y 48%, respectivamente.
- Los valores medios de precipitación para el mes son de 236,1 en Biológica de los Llanos, 237,4 mm en Calabozo (estado Guárico), 186,3 mm en San Juan de los Morros (estado Guárico) y 148,1 mm en Valle de la Pascua (estado Guárico).



REGIÓN LLANOS OCCIDENTALES (Apure, Barinas y Portuguesa)

- Durante el mes de Agosto prevalecieron las anomalías positivas de precipitación (valores registrados por encima del promedio) en los estados Apure y Portuguesa, el resto presentó en promedio un déficit de 29%.
- Los máximos pluviométricos se registraron en San Fernando de Apure (estado Apure) con 368,2 mm, en Guasualito (estado Apure) con 243,8 mm y en Guanare (estado Portuguesa) con 308 mm, representando todos superávit pluviométrico de 52%, 4% y 53%, respectivamente.
- Los valores medios de precipitación del mes son de 243 mm en San Fernando de Apure (estado Apure), 234,1 mm en Guasualito (estado Apure), 182,7 mm en Barinas (estado Barinas), 195,3 mm en Acarigua (estado Portuguesa) y 201,3 mm en Guanare (estado Portuguesa).

REGIÓN ZULIANA (Zulia)

- En la región se presentó en promedio 67% de déficit pluviométrico (valores registrados por debajo del promedio).
- Solo en Maracaibo se presentó superávit pluviométrico al precipitar 64,6 mm, valor que representó una anomalía positiva de 5%.
- Los valores medios del mes son de 61,4 mm para Maracaibo, 126,3 mm para Mene Grande, 132 mm para Manuelote, 112,7 mm para Hacienda Manantialitos y 74,4 mm para La Cañada.

REGIÓN ORIENTAL (Delta Amacuro, Nueva Esparta, Anzoátegui, Sucre y Monagas)

- En la región se presentó en promedio un déficit de precipitaciones (valores registrados por debajo del promedio) de 53%.
- Los valores promedios del mes de Agosto son de 56,9 mm para Porlamar (estado Nueva Esparta), 110,6 mm para Barcelona (estado Anzoátegui), 91,8 mm para



Cumaná (estado Sucre), 144,6 mm para Güiria (estado Sucre), 141,1 mm para Cocollar (estado Sucre) y 179,4 mm para Maturín (estado Monagas).

REGIÓN SUR (Amazonas y Bolívar)

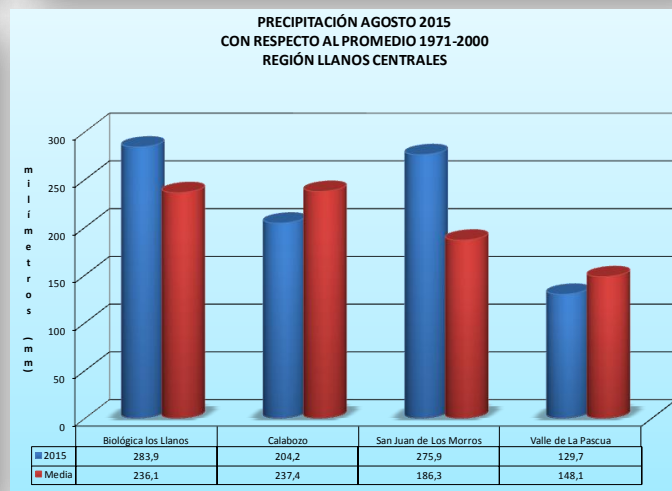
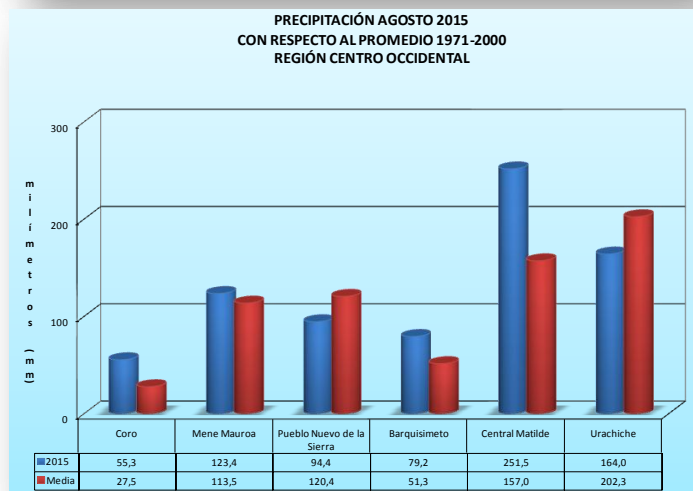
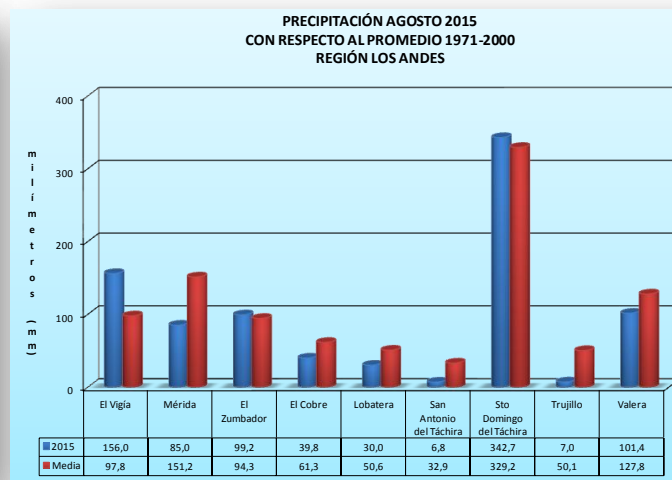
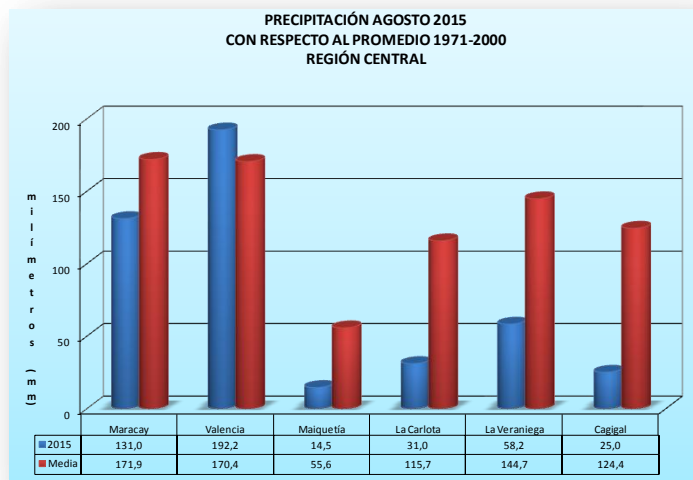
- En el estado Amazonas el déficit pluviométrico se ubico en 14%, mientras que en el Estado Bolívar este rondo los 25%.
- Los máximos registros de precipitación se presentaron en Karum (estado Bolívar) con 663,9 mm y en Uriman (estado Bolívar) con 677,7 mm, representando ambos valores anomalías positivas de 31% y 19%, respectivamente.
- La precipitación máxima en 24 horas fue de 76 mm y ocurrió en Uriman (estado Bolívar) el día 09 de Agosto.

El mayor valor de precipitación registrado en todo el país fue de 677,7 mm y ocurrió en Uriman (estado Bolívar).

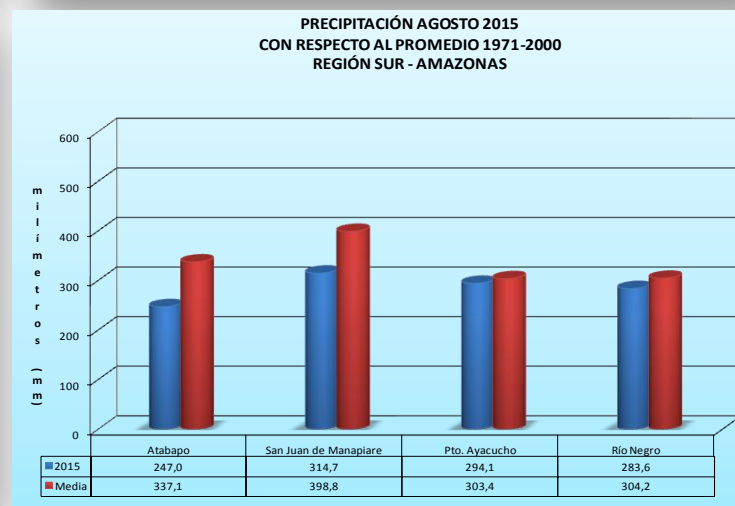
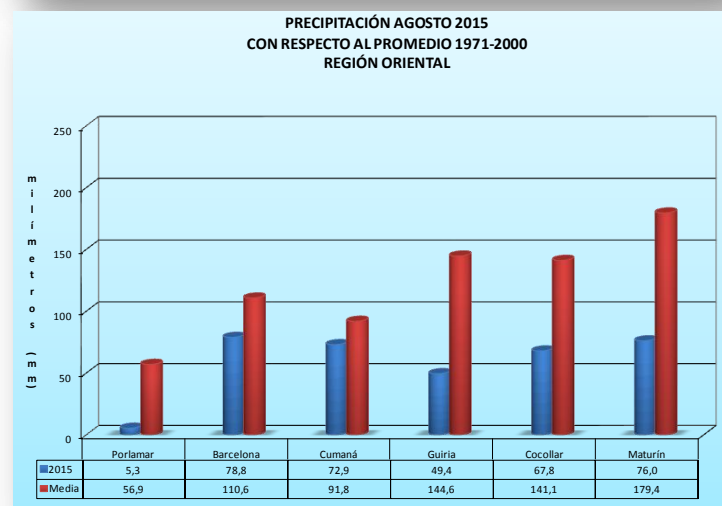
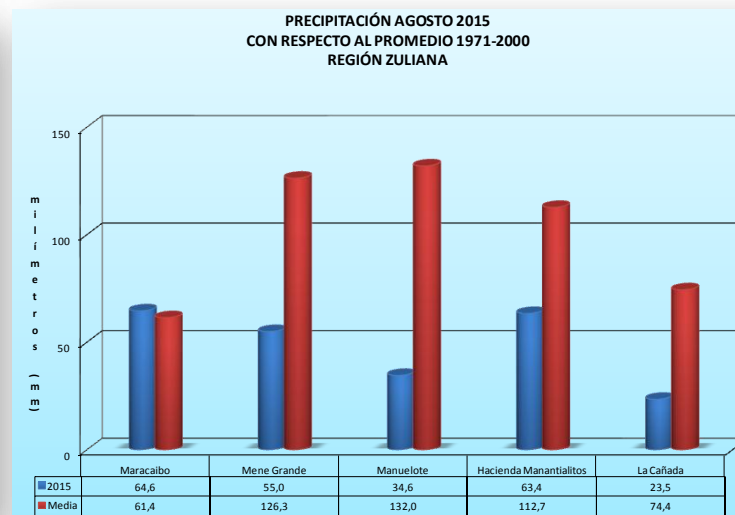
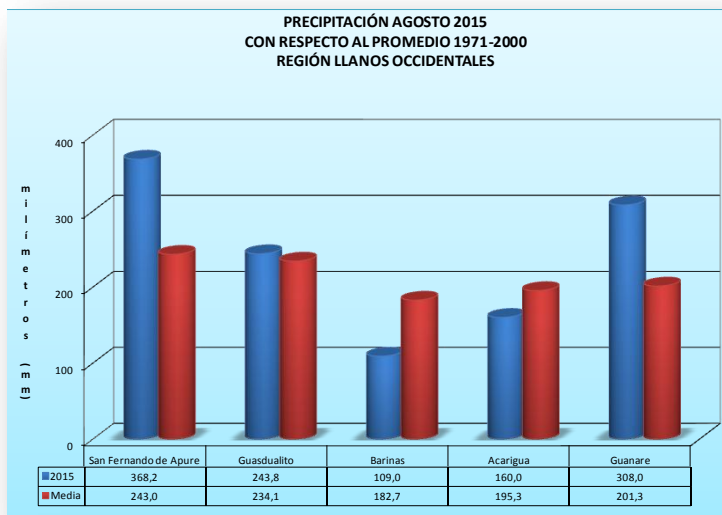
El máximo superávit pluviométrico del Territorio Nacional fue de 101% y ocurrió en Coro (estado Falcón) al registrar 55,3 mm de un promedio mensual de 27,5 mm.

El máximo valor de precipitación en 24 horas fue de 76 mm y ocurrió en Uriman (estado Bolívar) el día 09 de Agosto.

Comparación de la Precipitación de Agosto de 2015 con respecto al Promedio 1971-2000



Comparación de la Precipitación de Agosto de 2015 con respecto al Promedio 1971-2000





Comparación de la Precipitación de Agosto de 2015 con respecto al Promedio 1971-2000

